

EGM0004

# Sistemas Não Lineares

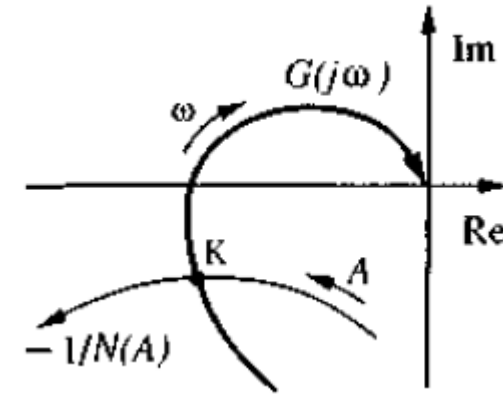
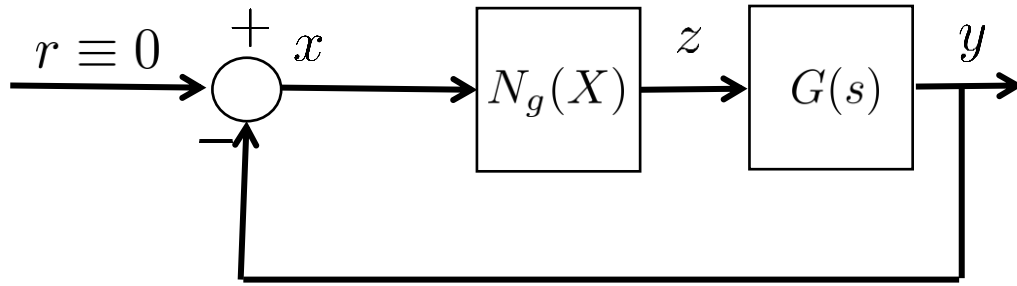
Prof. **Josenalde Barbosa de Oliveira** – UFRN



josenalde.oliveira@ufrn.br

Programa de Pós-Graduação em Engenharia Mecatrônica

# Relembrando: Existência de ciclo limite



$$x(t) = -y(t)$$

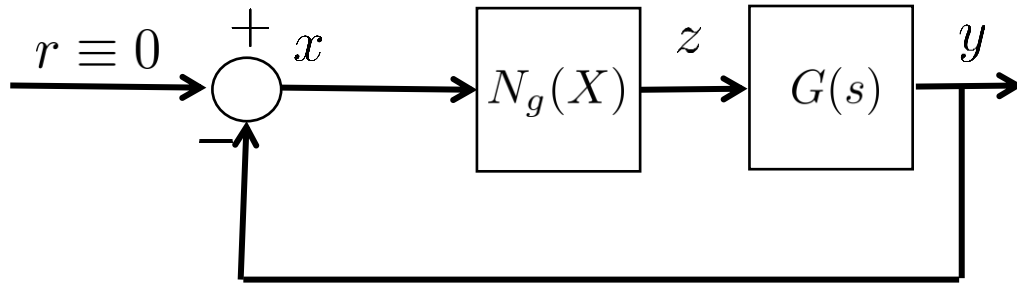
$$y(t) = G(j\omega)z(t) \implies z(t) = N(X)x(t)$$

$$x(t) = -G(j\omega)N(X)x(t) \implies 1 = -G(j\omega)N(X)$$

$$G(j\omega) = -\frac{1}{N(X)}$$

Se há solução (intersecção) das curvas, há ciclo limite

# Exemplo: relé puro com amplitude M



$$N_g(X) = \frac{4M}{\pi X} \quad G(s) = \frac{1}{s(s+1)(s+2)}$$

$$G(j\omega) = \frac{1}{j\omega(j\omega+1)(j\omega+2)} \times \frac{(-j\omega)(1-j\omega)(2-j\omega)}{(-j\omega)(1-j\omega)(2-j\omega)} = \frac{-3\omega + j(\omega^2 - 2)}{\omega(1+\omega^2)(4+\omega^2)}$$

$$Re[G(j\omega)] = \frac{-3}{(1+\omega^2)(4+\omega^2)} \quad \omega = 0, \quad \Rightarrow \quad Re[G(j\omega)] = -3/4, \quad Im[G(j\omega)] = -\infty$$

$$Im[G(j\omega)] = \frac{\omega^2 - 2}{\omega(1+\omega^2)(4+\omega^2)} \quad \omega \rightarrow \infty, \quad \Rightarrow \quad Re[G(j\omega)] = 0, \quad Im[G(j\omega)] = 0$$

Ou, de modo geral para a forma...

$$G(s) = \frac{k_1}{s(s + k_2)(s + k_3)}$$

$$G(j\omega) = \frac{k_1}{j\omega(j\omega + k_2)(j\omega + k_3)} \times \frac{(-j\omega)(k_2 - j\omega)(k_3 - j\omega)}{(-j\omega)(k_2 - j\omega)(k_3 - j\omega)} = \frac{-\omega^2(k_1k_2 + k_1k_3) + \omega j(k_1\omega^2 - k_1k_2k_3)}{\omega^2(k_2^2 + \omega^2)(k_3^2 + \omega^2)}$$

$$\text{Re}[G(j\omega)] = \frac{-(k_1k_2 + k_1k_3)}{(k_2^2 + \omega^2)(k_3^2 + \omega^2)}$$

$$\text{Im}[G(j\omega)] = \frac{k_1\omega^2 - k_1k_2k_3}{\omega(k_2^2 + \omega^2)(k_3^2 + \omega^2)}$$

# Exemplo: relé puro com amplitude M

$$N(X) = \frac{4M}{\pi X}, \quad -\frac{1}{N(X)} = \frac{-\pi X}{4M}$$

Como N é função apenas da amplitude da entrada, ocorre apenas sobre o eixo real, no sentido negativo do eixo, à medida que X varia.... Assim, na intersecção de  $G(j\omega)$  com o eixo real, a parte imaginária de  $G(j\omega)$  é nula, de onde extrai-se a frequência de cruzamento, ou seja, a frequência do ciclo limite

$$\text{Im}[G(j\omega)] = 0 \implies \omega = \sqrt{2} \text{ rad/s}$$

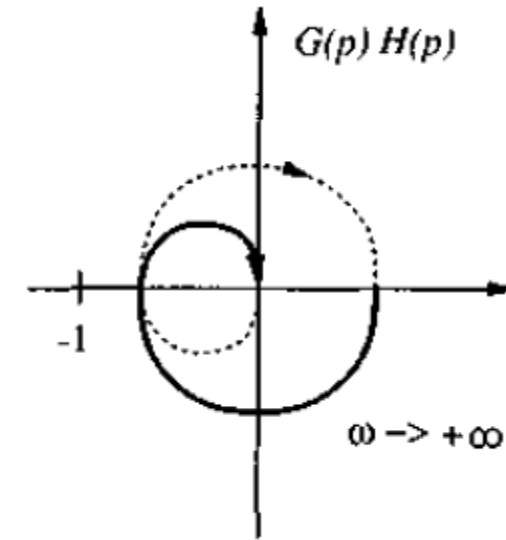
Para esta frequência, o valor de  $G(j\omega)$  no eixo real é:

$$\text{Re}[G(j\omega)] = \frac{-3}{(1+2)(4+2)} = -1/6 \quad -\frac{1}{N(X)} = \frac{-\pi X}{4M} = \frac{-1}{6} \implies X = \frac{2M}{3\pi}$$

Ciclo LIMITE:  $\frac{2M}{3\pi} \text{sen}(\sqrt{2}t)$  **Estável???**

# Cr terio de Nyquist

- Desenhar no plano complexo um caminho de Nyquist no semi plano direito no sentido hor rio
  - Este caminho   ent o mapeado no plano  $G(s)H(s)$
  - Determina-se  $N$ , o n mero de contornos/voltas no sentido hor rio que envolve o ponto  $(-1,0)$
  - Determina-se  $Z = N + P$ , que deve ser 0 para ter-se sistema est vel em malha fechada.
- $Z$ : n mero de zeros de malha fechada;
- $P$ : n mero de polos inst veis de malha aberta.

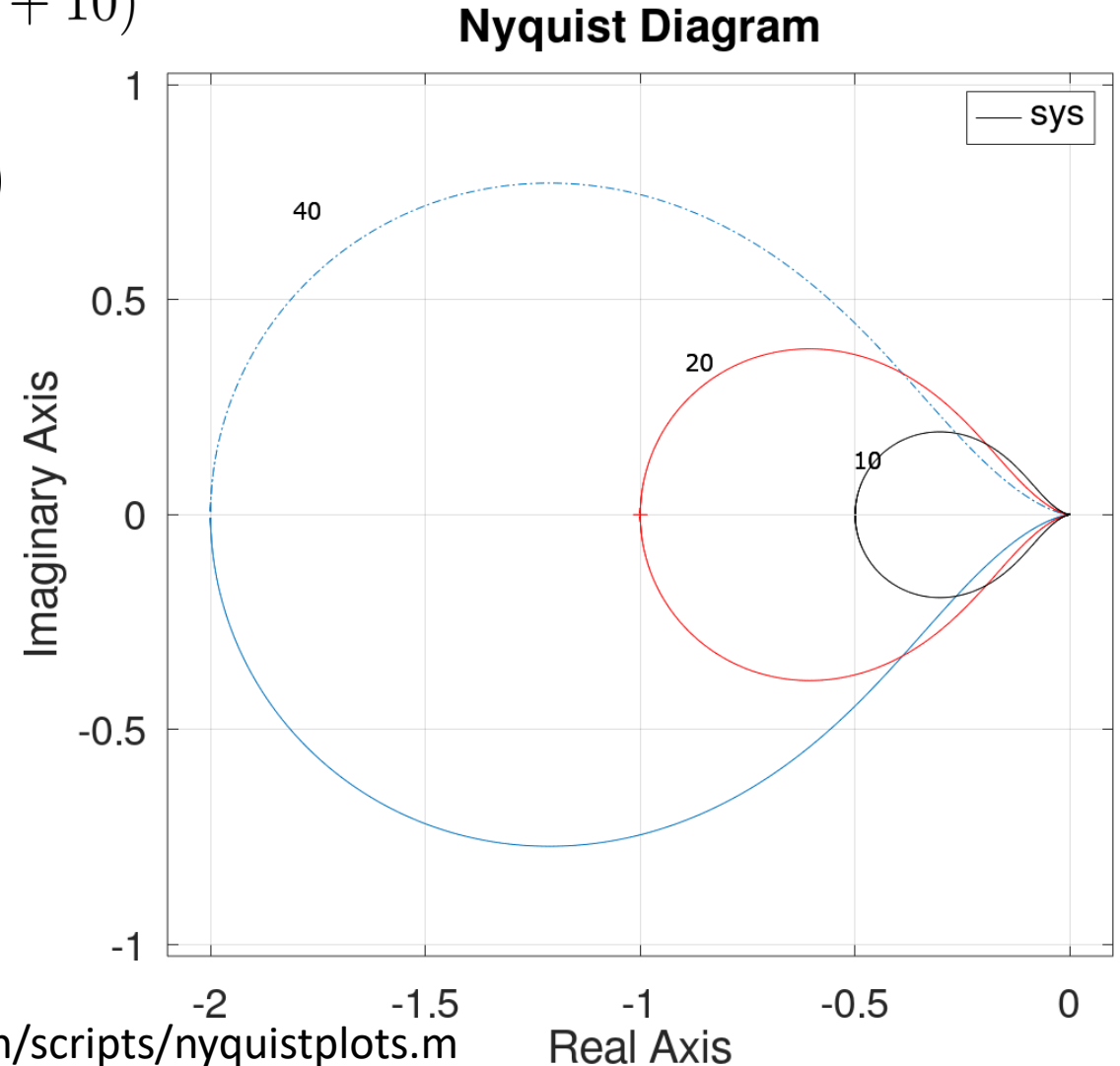


# Critério de Nyquist: Exemplo

$$G(s)H(s) = \frac{2}{(0.5s - 1)(0.1s + 1)} = A \cdot \frac{1}{(s - 2)(s + 10)}, \quad A = 40$$

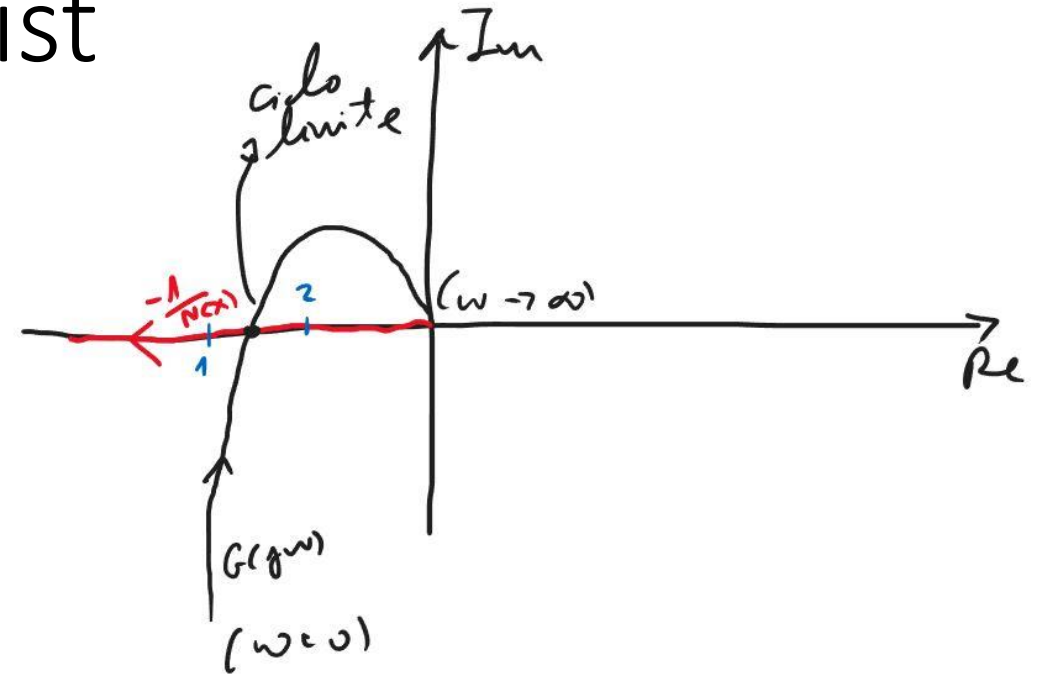
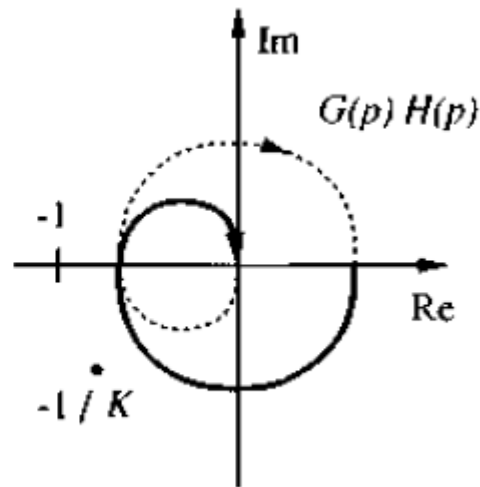
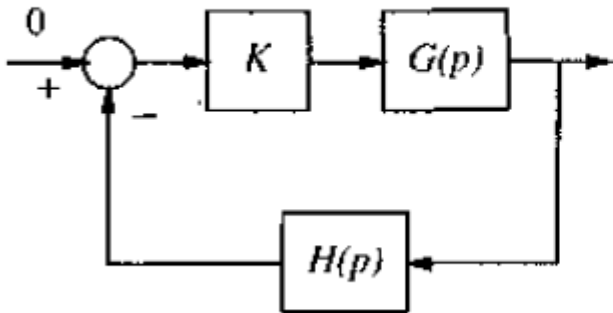
$A = 10 : P = 1, N = 0, Z = N + P = 1$  (instável)

$A = 40 : P = 1, N = -1, Z = N + P = 0$  estável  
**Anti-horário**



[https://github.com/josenalde/nonlinear\\_systems/blob/main/scripts/nyquistplots.m](https://github.com/josenalde/nonlinear_systems/blob/main/scripts/nyquistplots.m)

# Extensão do Critério de Nyquist



K pode ser um ganho constante ou função complexa, como uma função descritiva...

Neste caso Z representa o número de contornos de  $G(s)H(s)$  ao ponto  $-1/K$

**Ponto 1:** X é maior que a amplitude do ciclo limite. Percorrendo  $G(jw)$  o ponto fica à esquerda do ponto A, logo  $Z = 0$ , sistema estável. X tende a diminuir.

**Ponto 2:** X é menor que a amplitude do CL. Percorrendo  $G(jw)$  o ponto 2 fica à direita, é englobado pela curva, logo instável, X tende a crescer. Então o CL é estável.



# Exemplo: relé puro com amplitude M

$$\text{Im}[G(j\omega)] = 0 \implies \omega = \sqrt{2} \text{ rad/s}$$

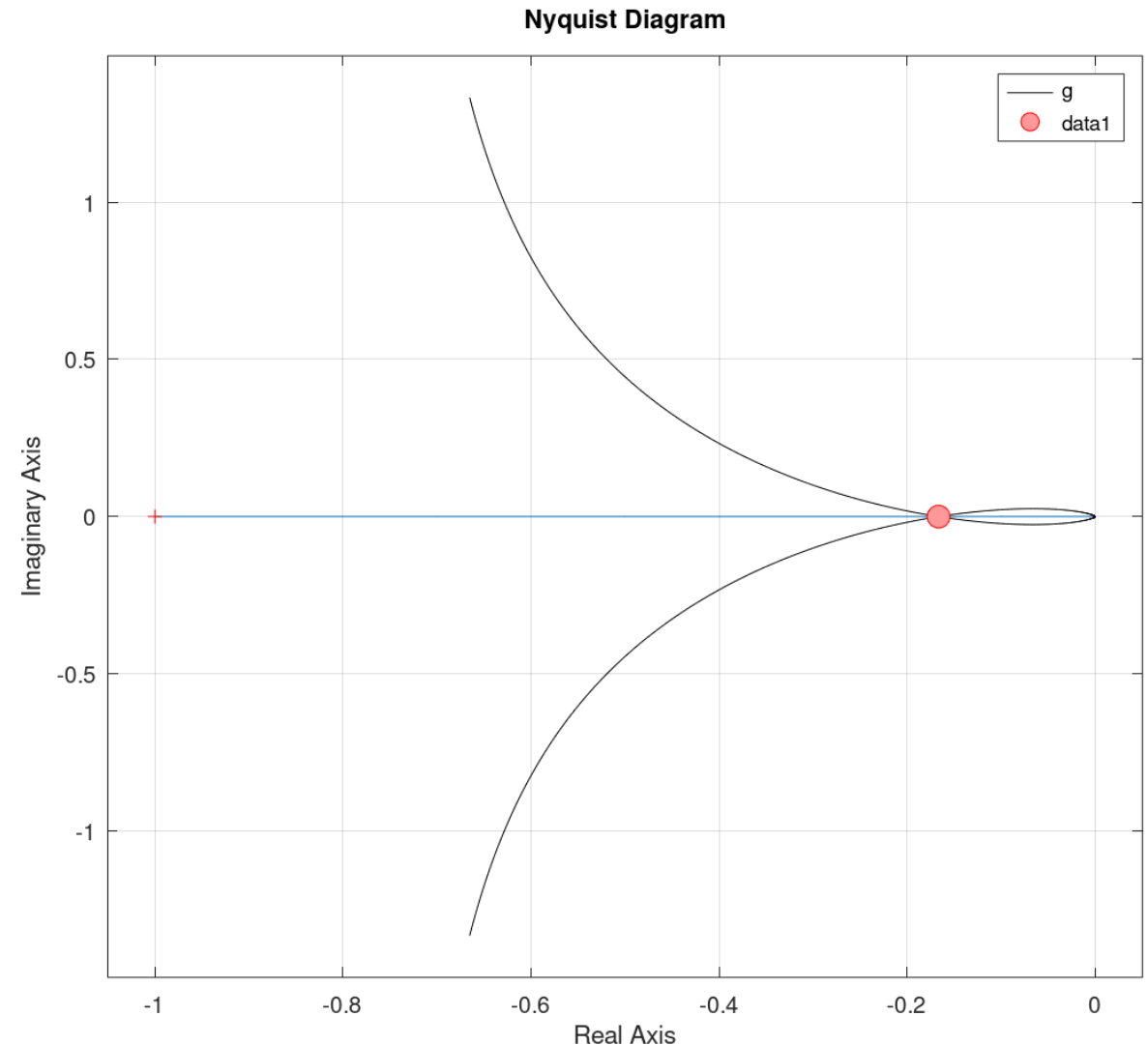
Para esta frequência, o valor de  $G(j\omega)$  no eixo real é:

$$\text{Re}[G(j\omega)] = \frac{-3}{(1+2)(4+2)} = -1/6$$

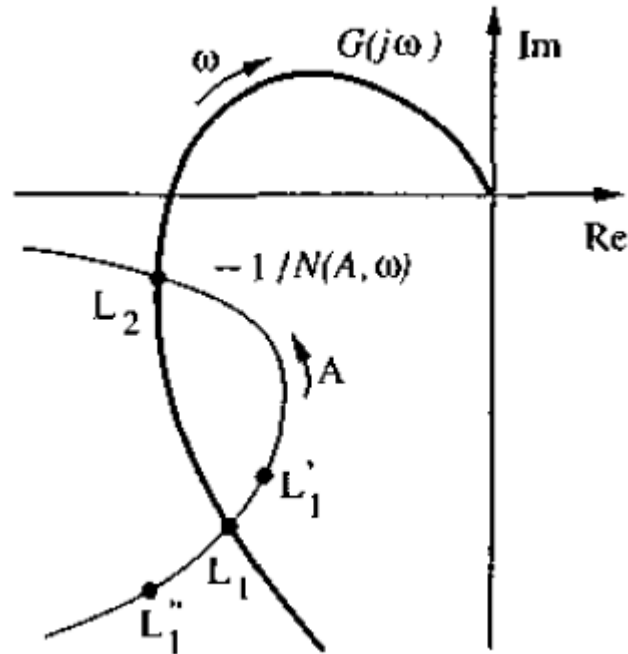
$$-\frac{1}{N(X)} = \frac{-\pi X}{4M} = \frac{-1}{6} \implies X = \frac{2M}{3\pi}$$

Ciclo LIMITE:  $\frac{2M}{3\pi} \text{sen}(\sqrt{2}t)$

Prof



# Extensão do Critério de Nyquist

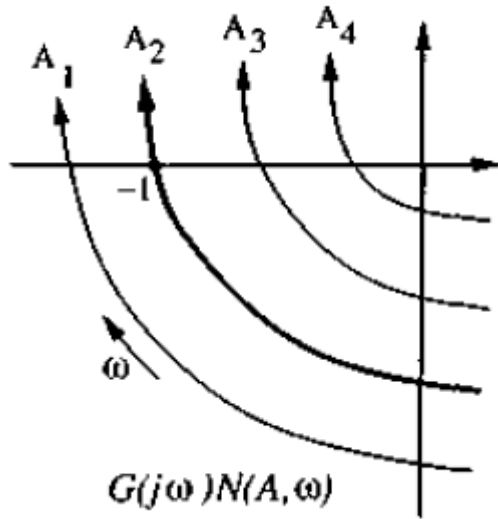


**Ciclo limite em L1:** Perturbação que desloque para L1', aumentando amplitude,  $G(j\omega)$  envolve, logo, instável e desloca-se para L2, aumentando a amplitude; Já para L1'', estável, pois não engloba, X tende a diminuir, se aproximando de L1.

**Ciclo limite em L2:** Em L2' (após L2 com X crescente), estável, tende a diminuir amplitude e voltar a L2. Para L2'' (antes de L2 com X reduzindo), instável, X aumenta e se aproxima de L2

**CONCLUSÃO:** L1 CL semi-estável; L2 CL estável

# Extensão do Critério de Nyquist – caso geral



Gráficos de  $G(j\omega)N(X, \omega)$  com  $X$  fixo e variando  $\omega$  de 0 a infinito. Diferentes valores de  $X$ , diferentes curvas. A que interceptar com  $(-1, 0)$  indica ciclo limite.

# Confiabilidade na predição de ciclos limite

1. A amplitude e frequência do(s) ciclo limite(s) pode(m) não ser acuradas
2. Um ciclo limite pode não realmente existir
3. Um ciclo limite real não é predito
4. Observar a hipótese do filtro, que em alguns componentes lineares podem ter picos ressonantes etc.
5. As curvas quase tangentes pode levar a análise errônea (a), devido a harmônicas

Desprezadas ou incertezas no modelo, que pode alterar as situações de intersecção, principalmente quando a filtragem no componente linear é fraca

6. Já a situação (b) ilustrada abaixo, quase perpendicular, dá usualmente bons resultados.

